

Fig. 1

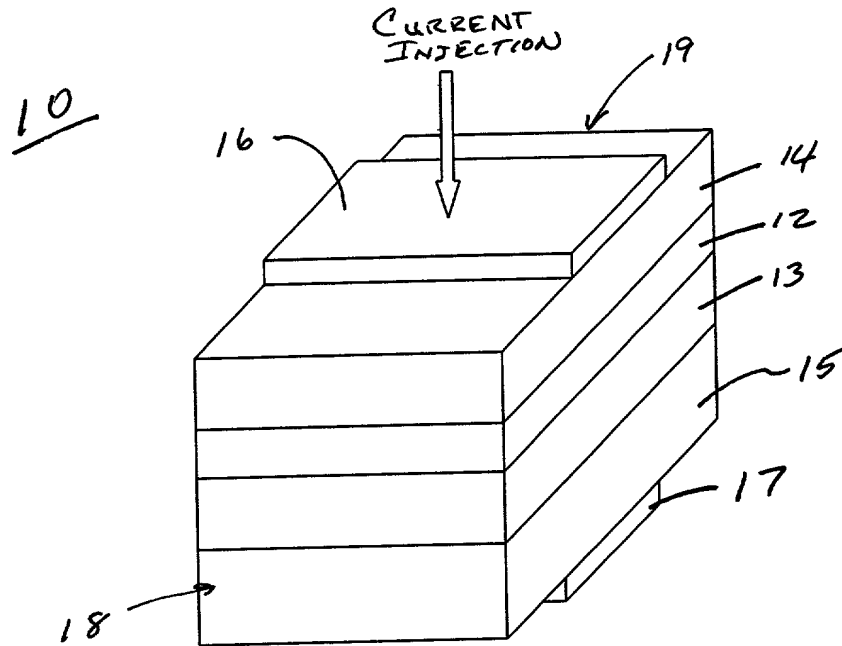


Fig. 2A

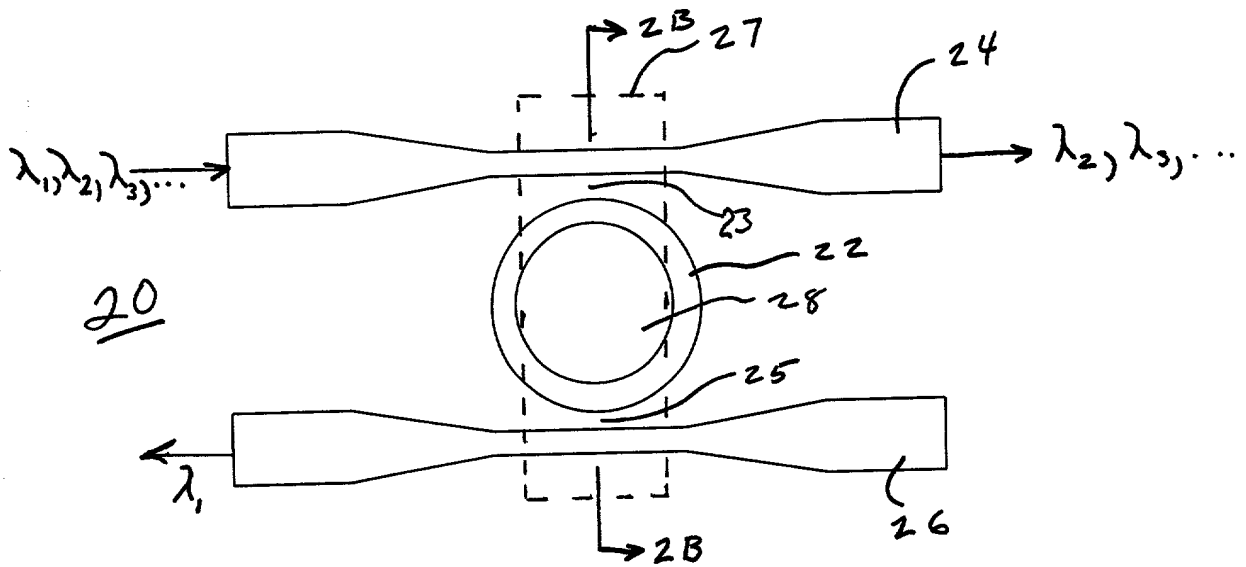


Fig. 2B

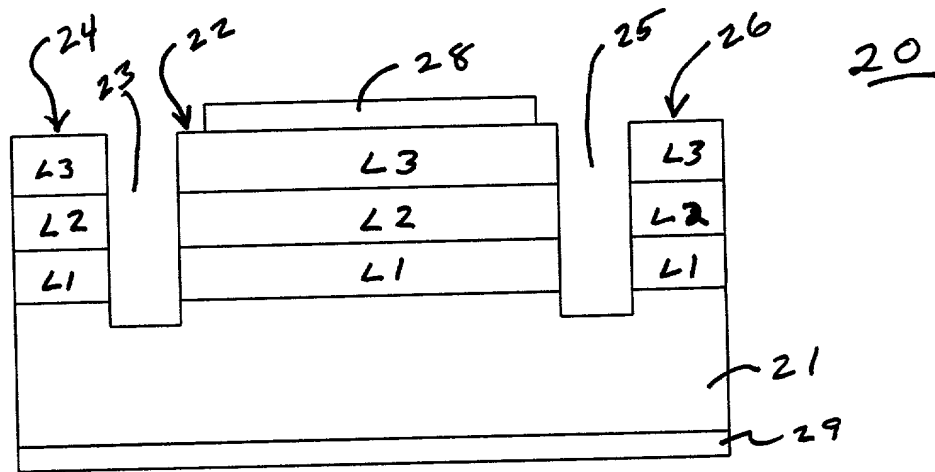


Fig. 3A

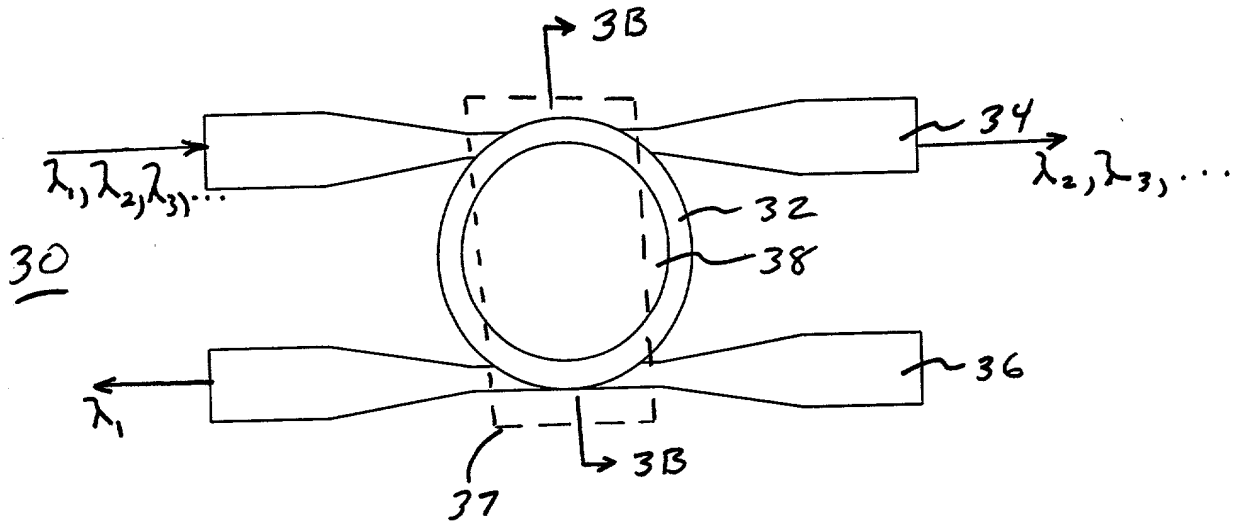


Fig. 3B

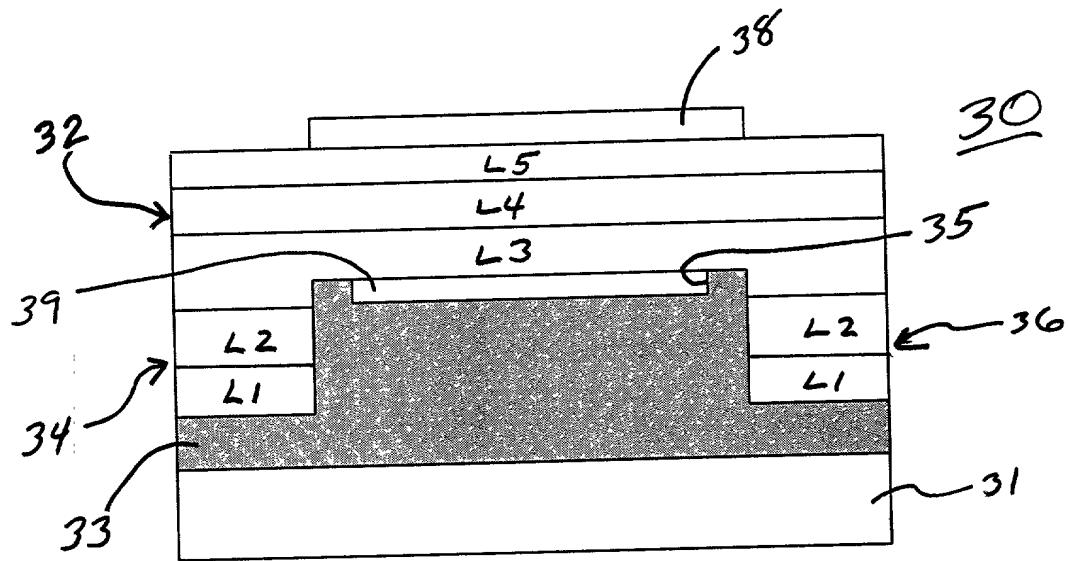


FIG. 3C

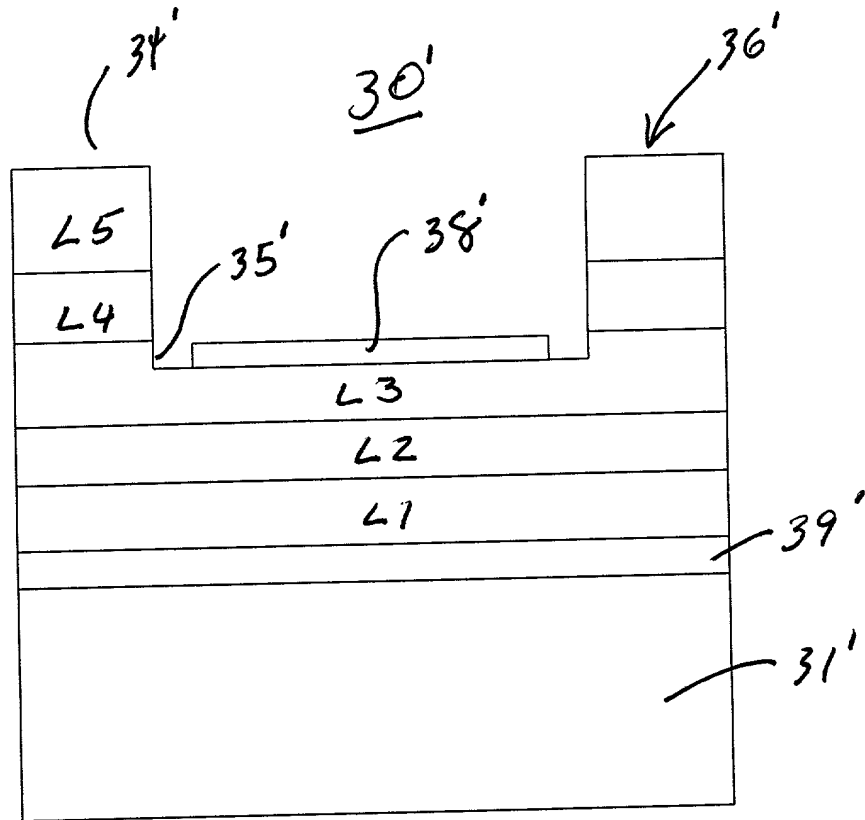


Fig. 4A

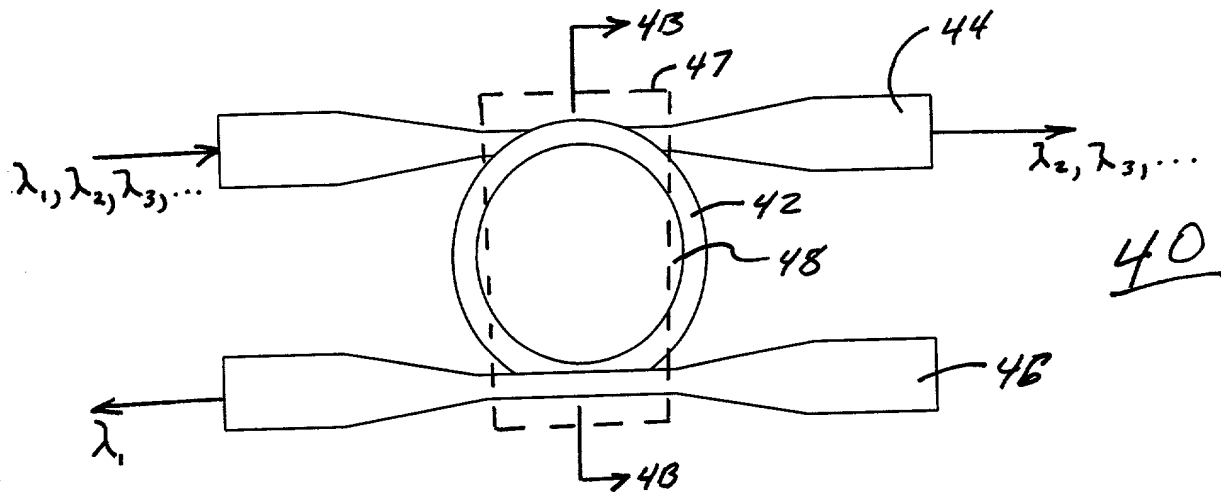
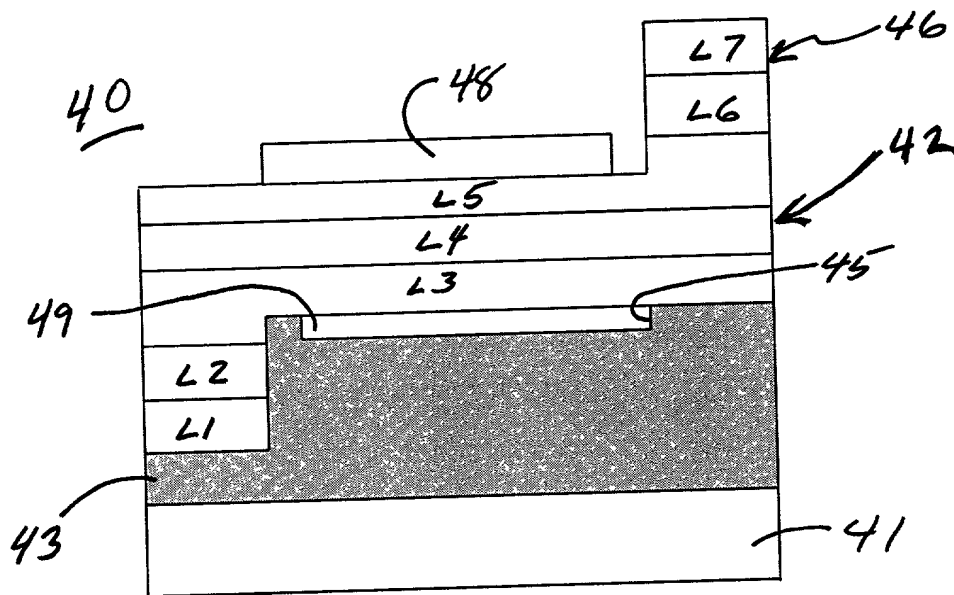


Fig. 4B



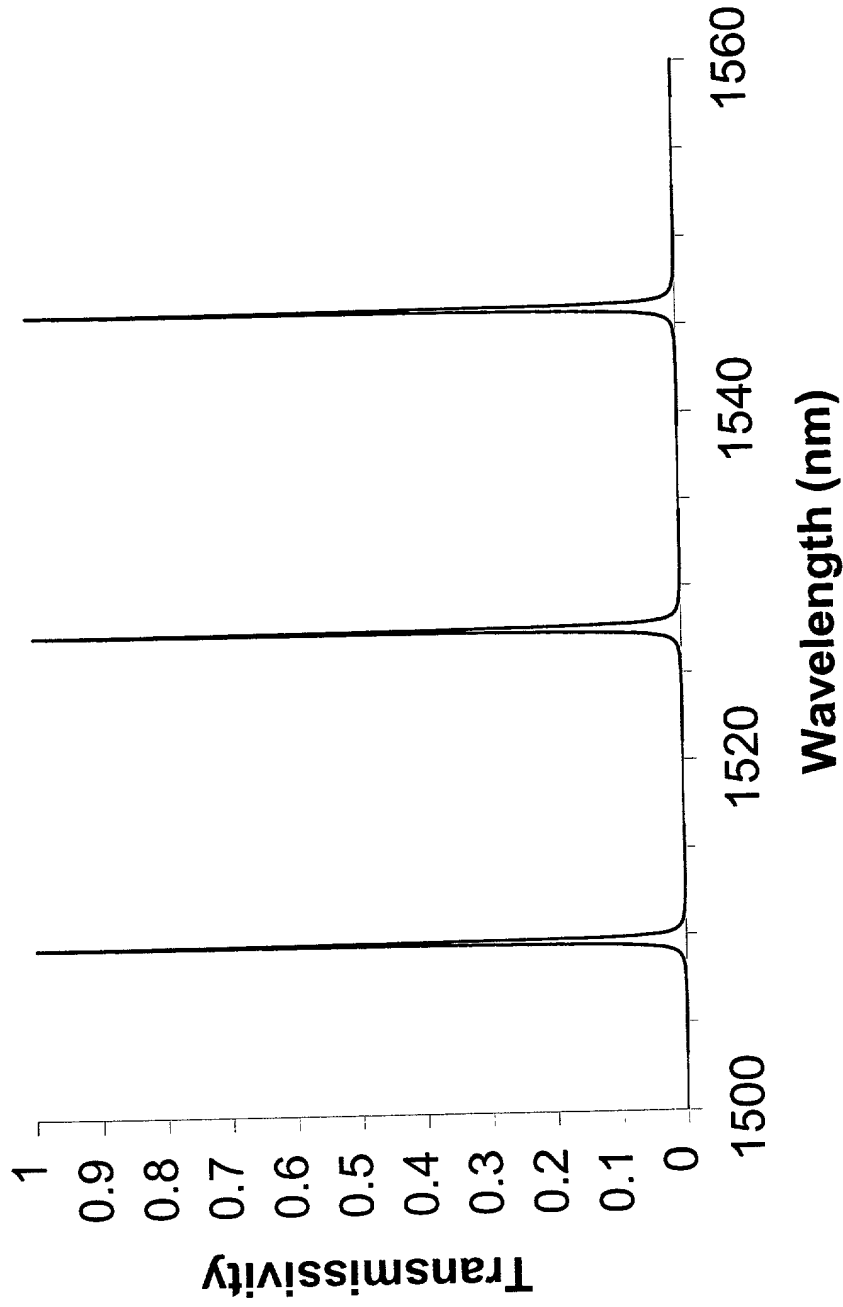


Fig. 5

Fig. 6A

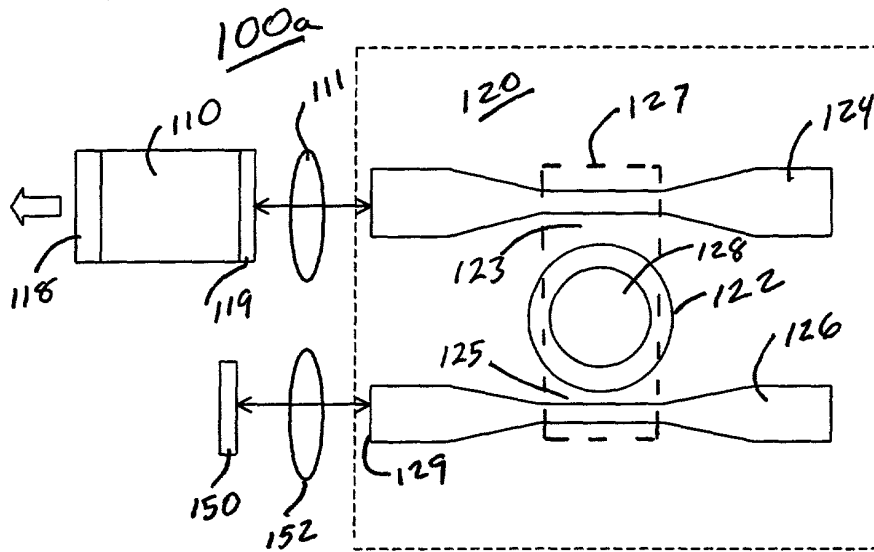
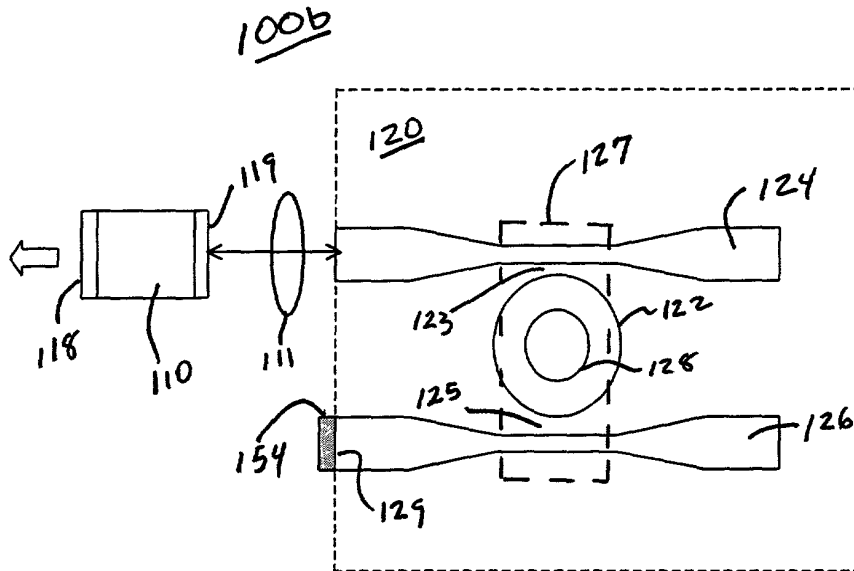


Fig. 6B



Imbalance coupling effect on single resonator output

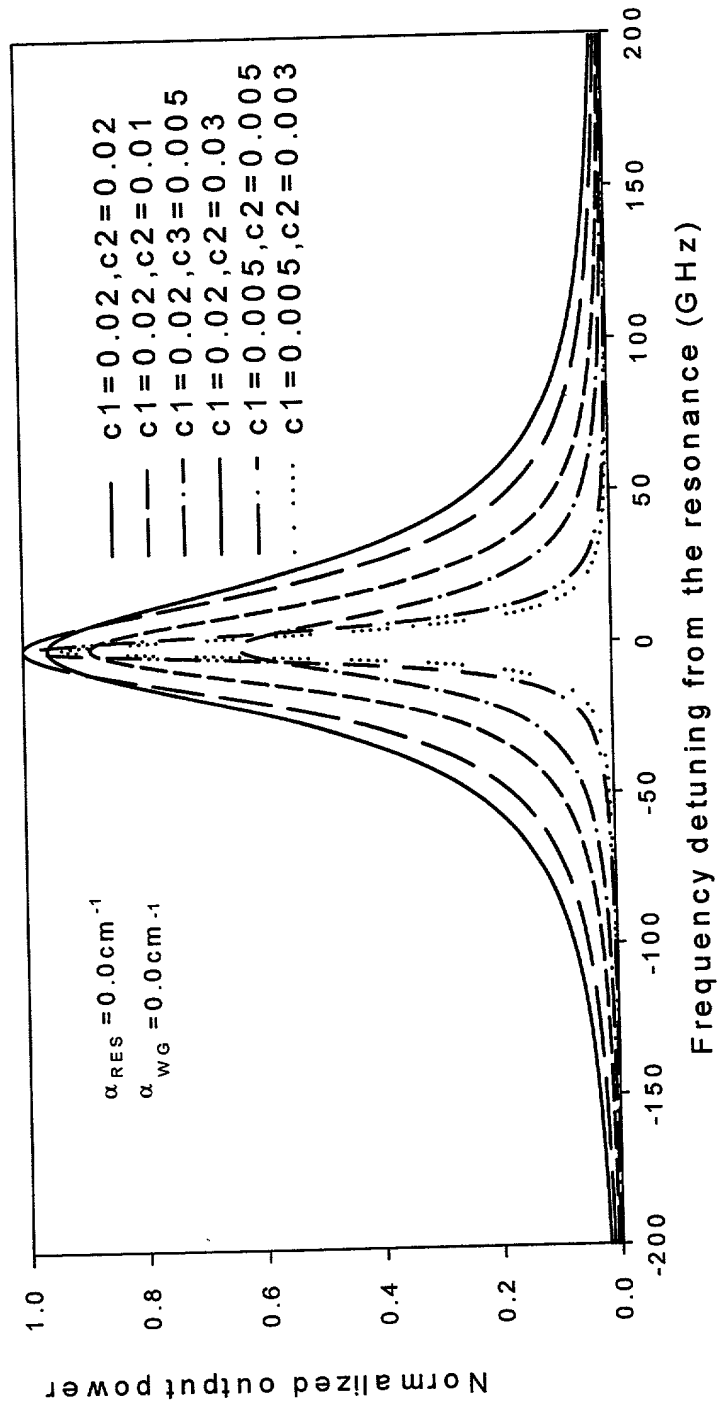


Fig. 7

Multiple resonators

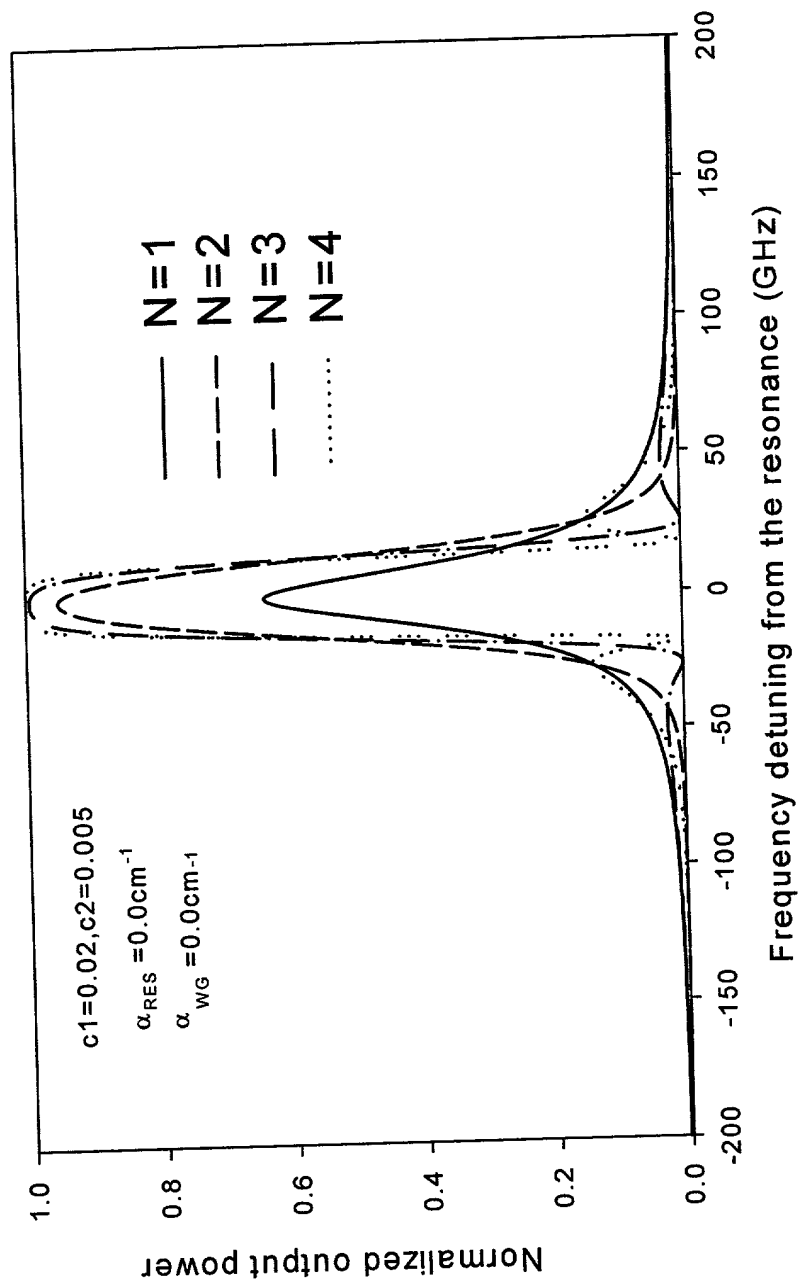
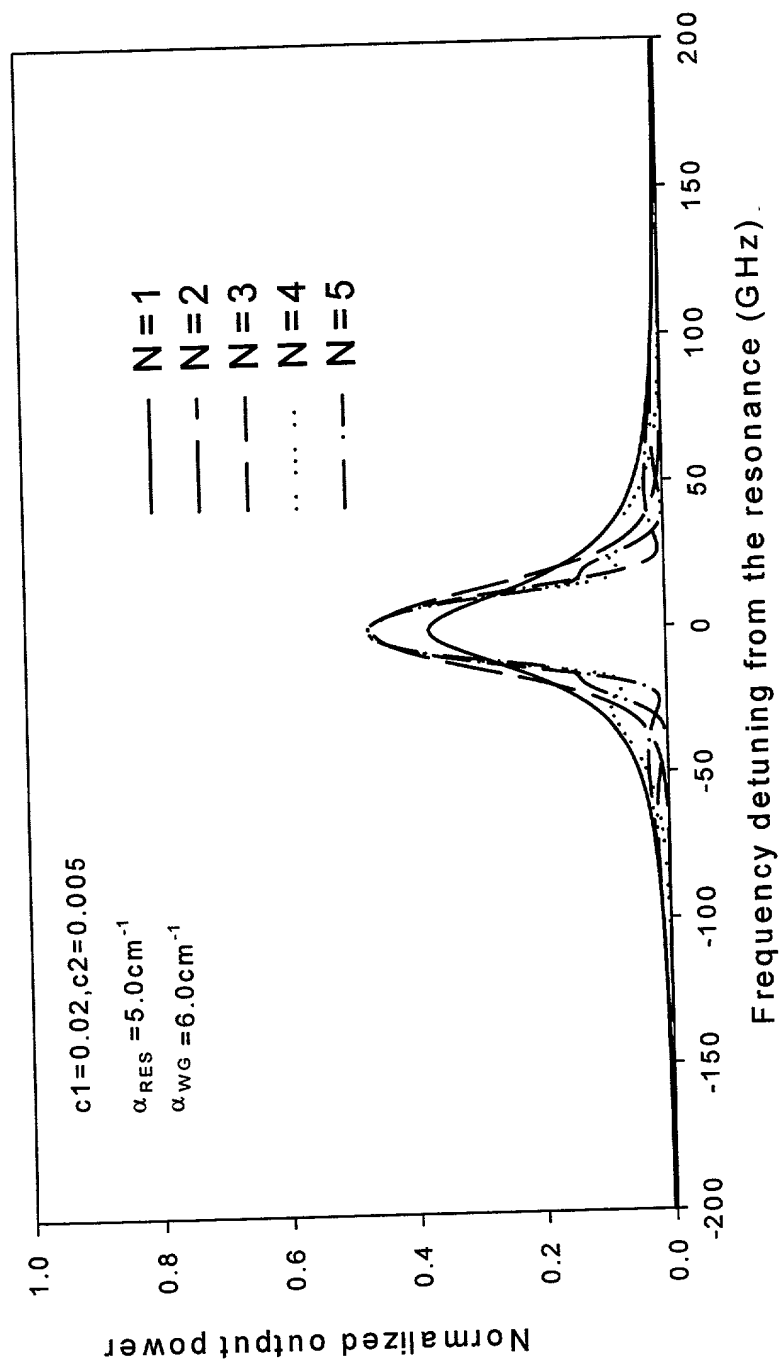


Fig. 8

Fig. 9

Multiple resonators



Multiple resonators

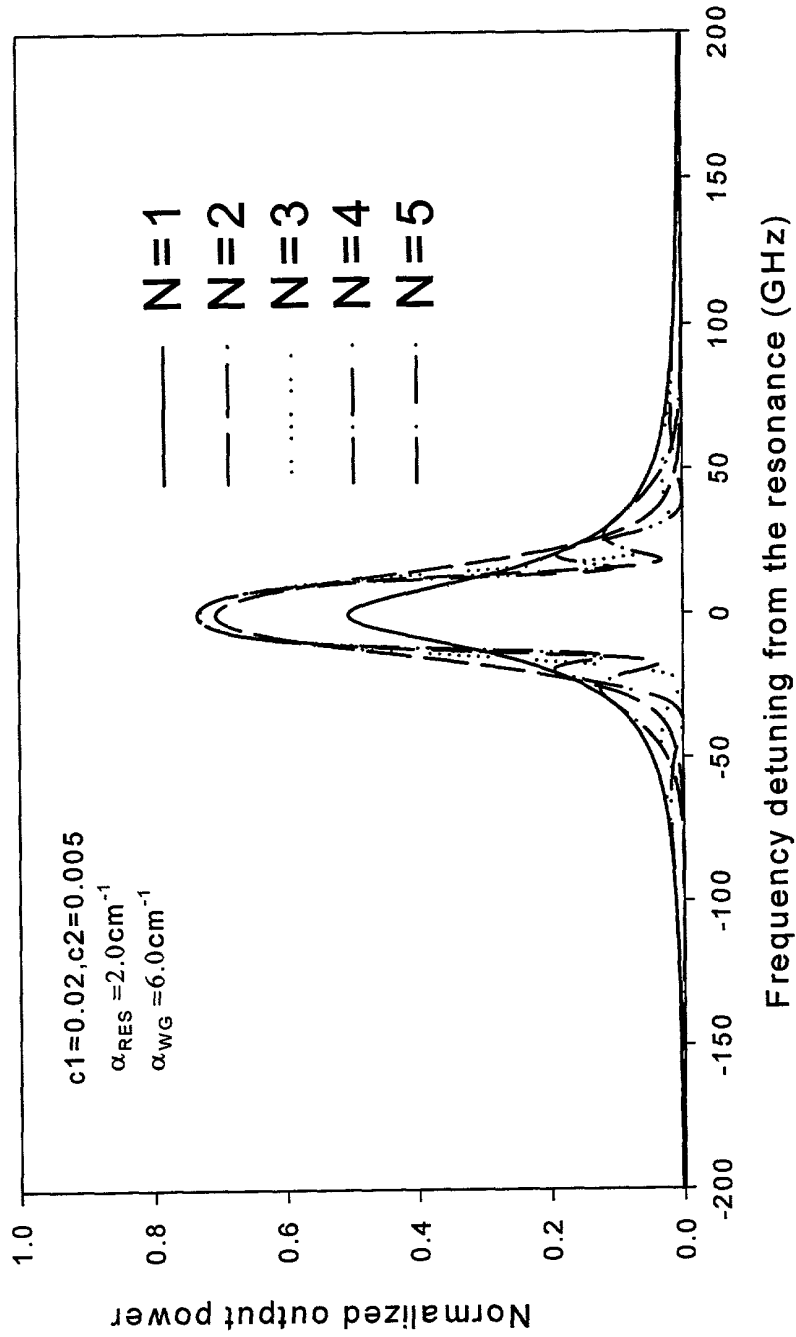


Fig. 10

2025 12 29 10:00:00

Fig. 11

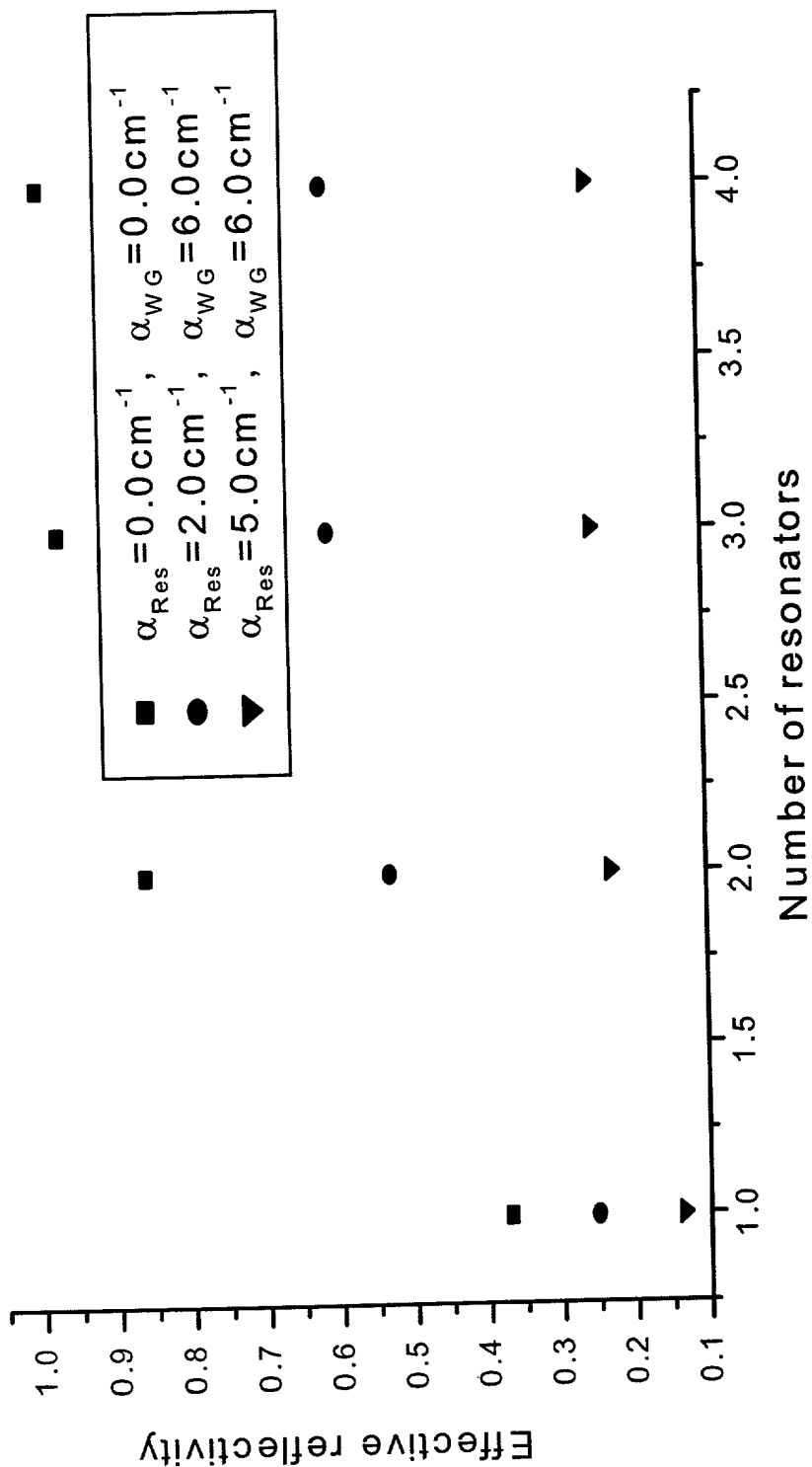


Fig. 12A

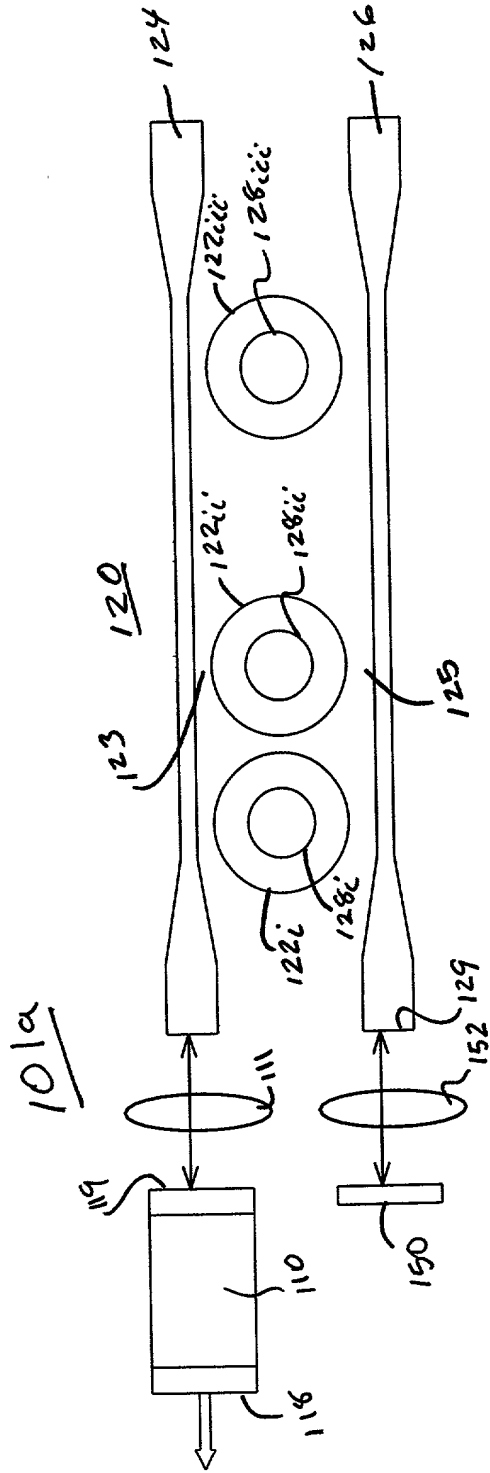


Fig. 12B

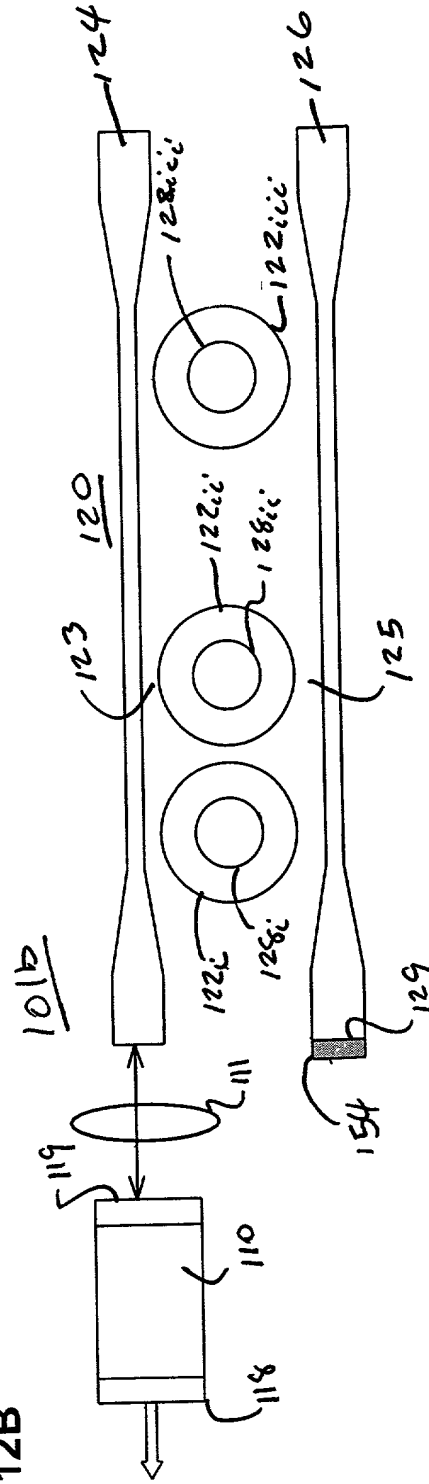


Fig. 13A

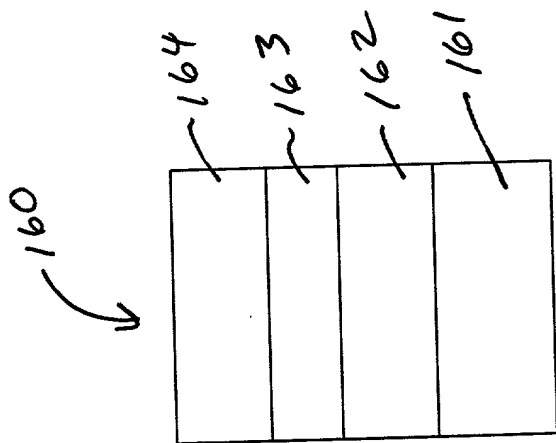


Fig. 13B

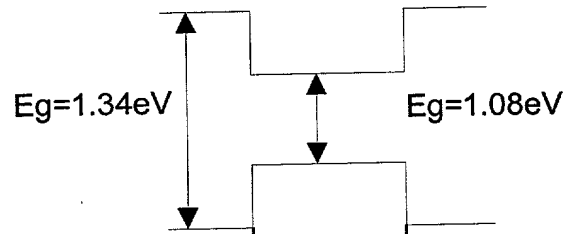
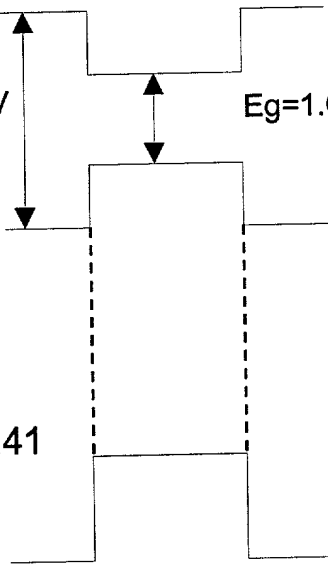


Fig. 13C

$n_{\text{InGaAsP}} = 3.41$

$n_{\text{InP}} = 3.17$



Refractive index change at $\lambda=1.55\mu\text{m}$

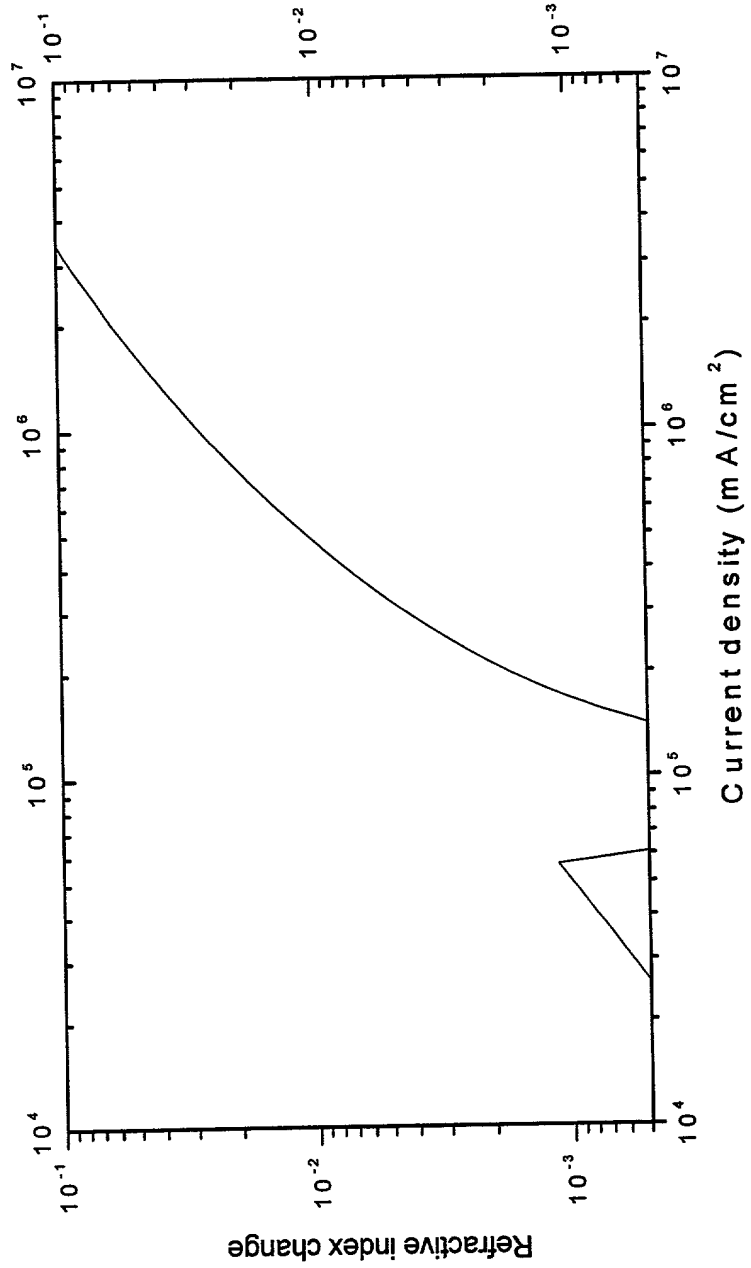


Fig. 14

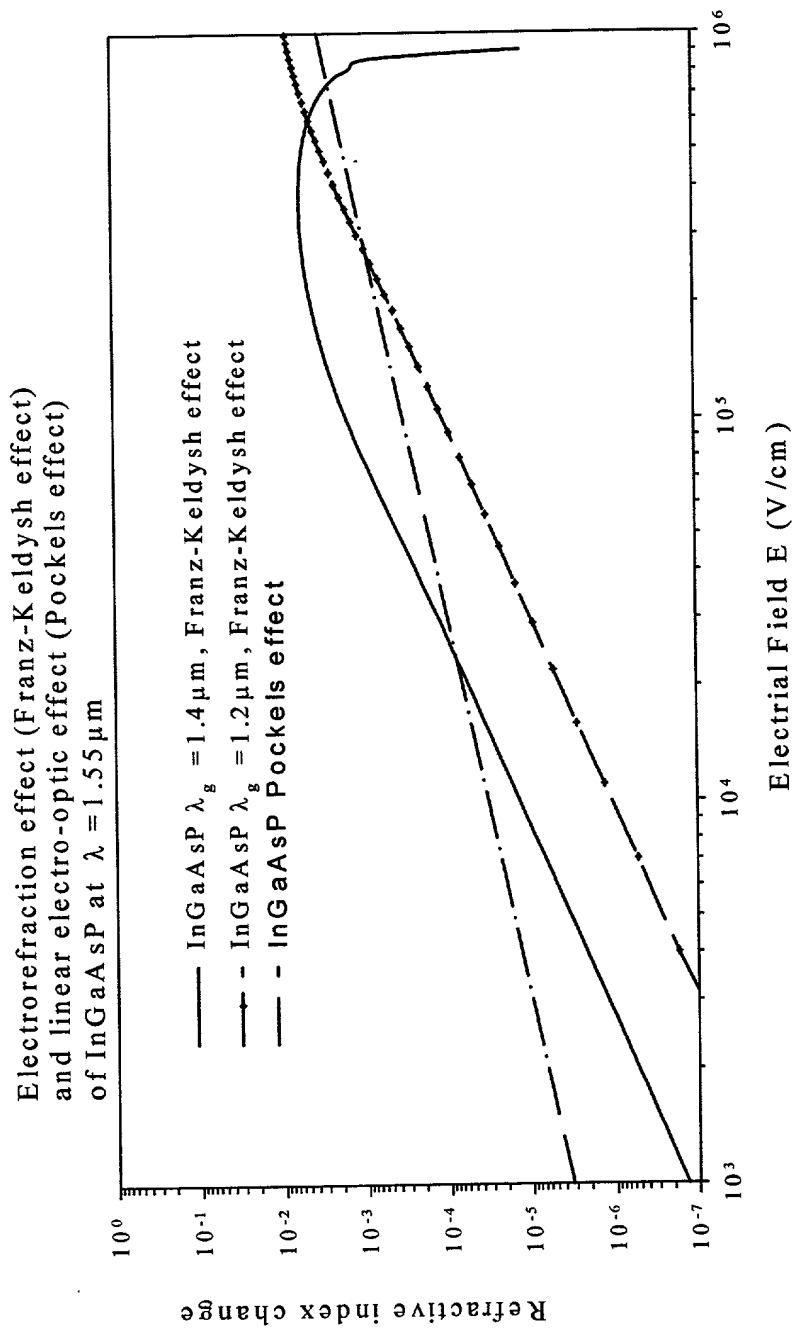


Fig. 15

Fig. 16A

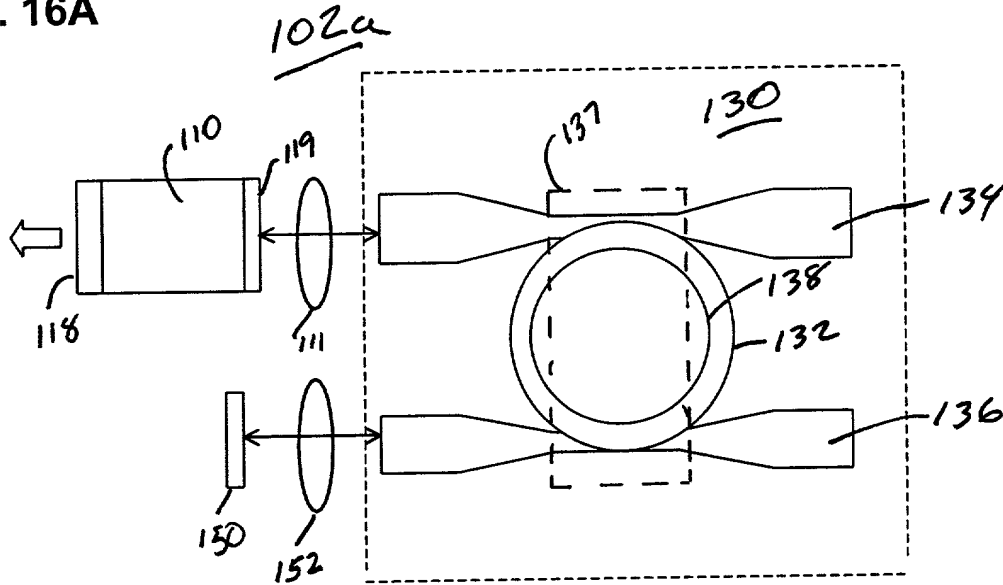


Fig. 16B

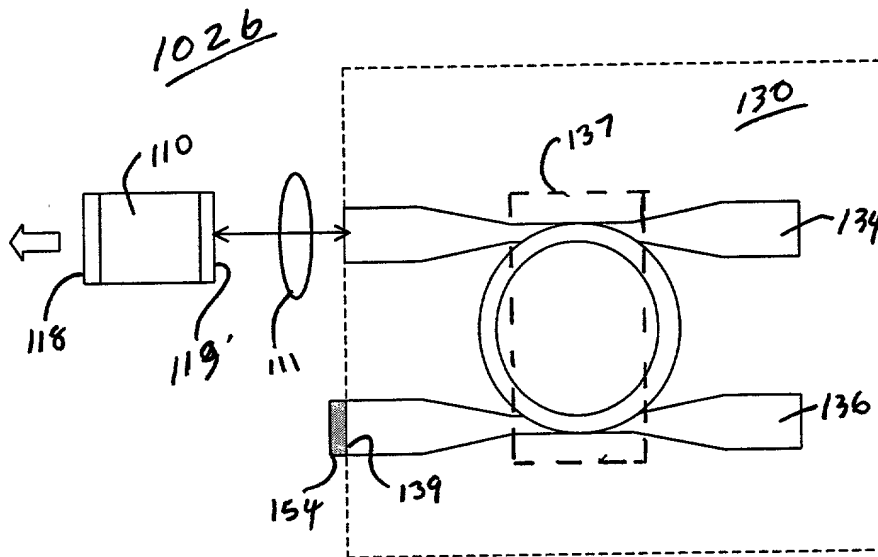


Fig. 17A

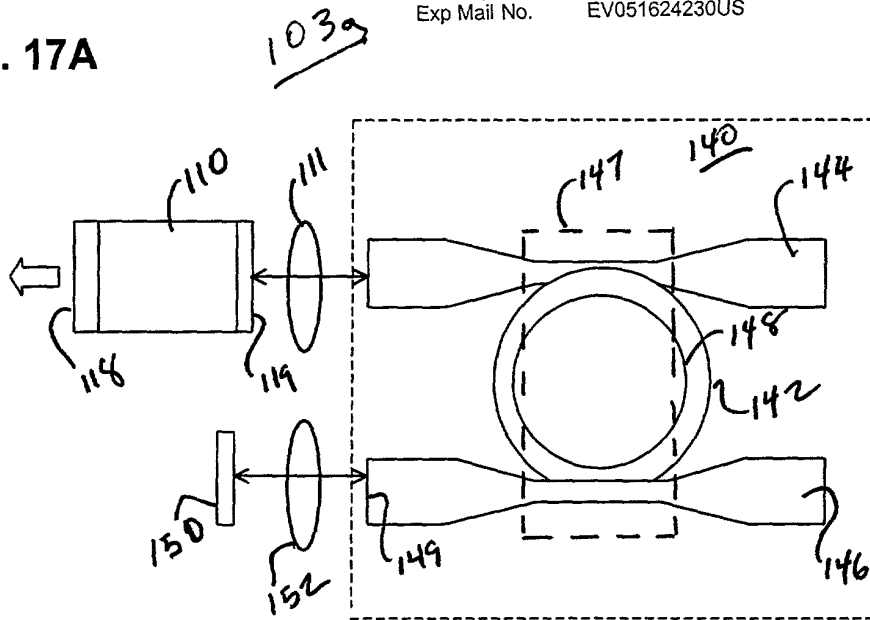


Fig. 17B

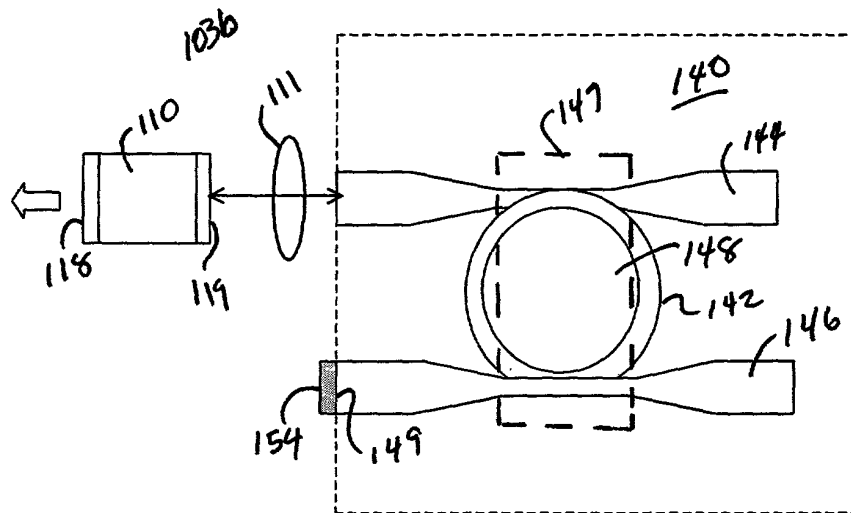


Fig. 18A

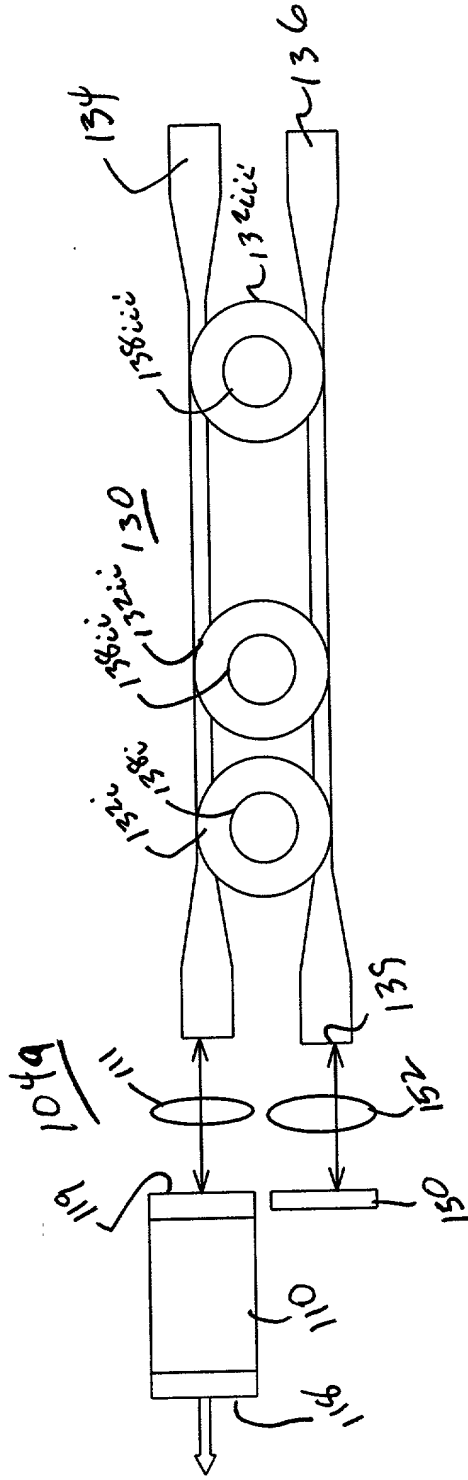


Fig. 18B

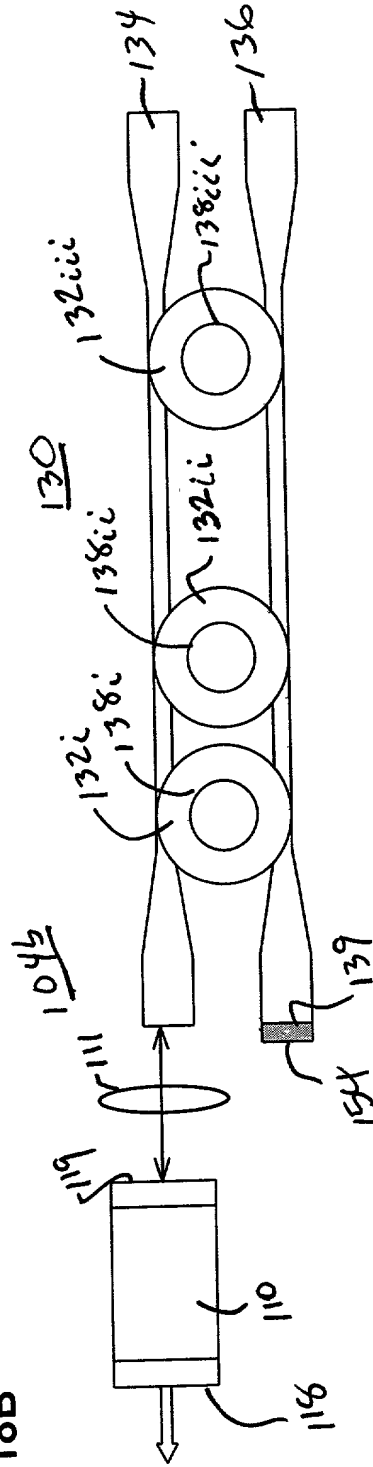


Fig. 19A

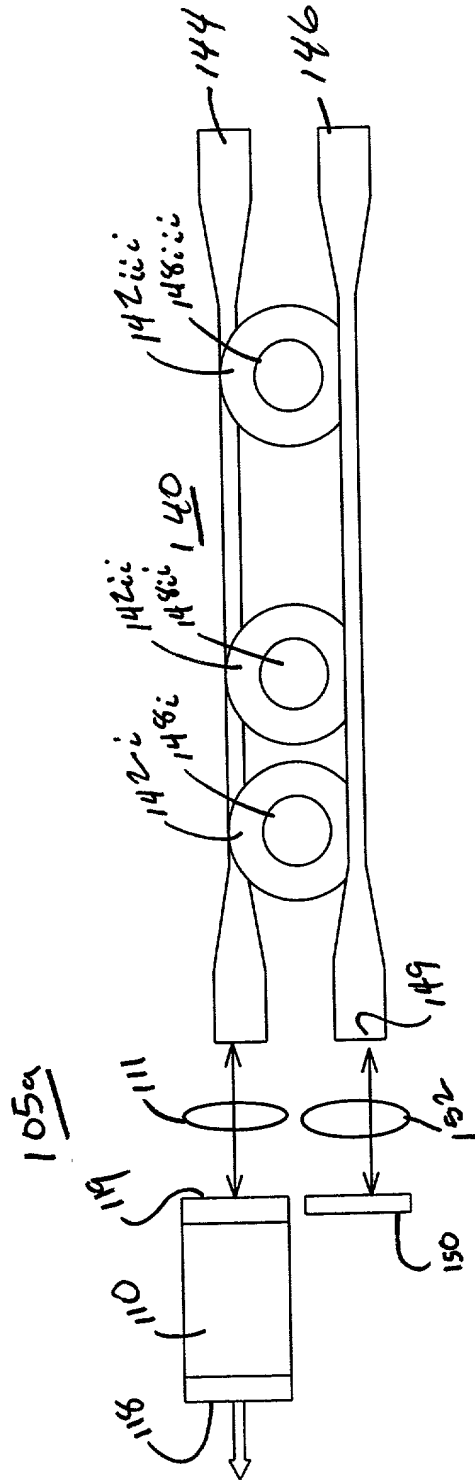
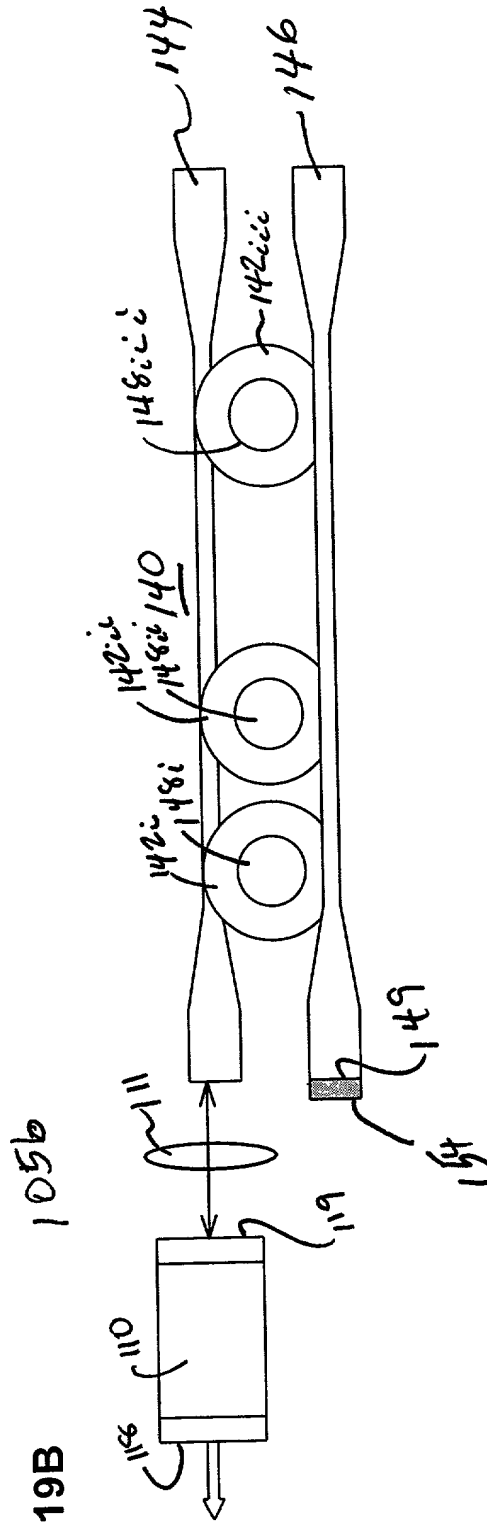
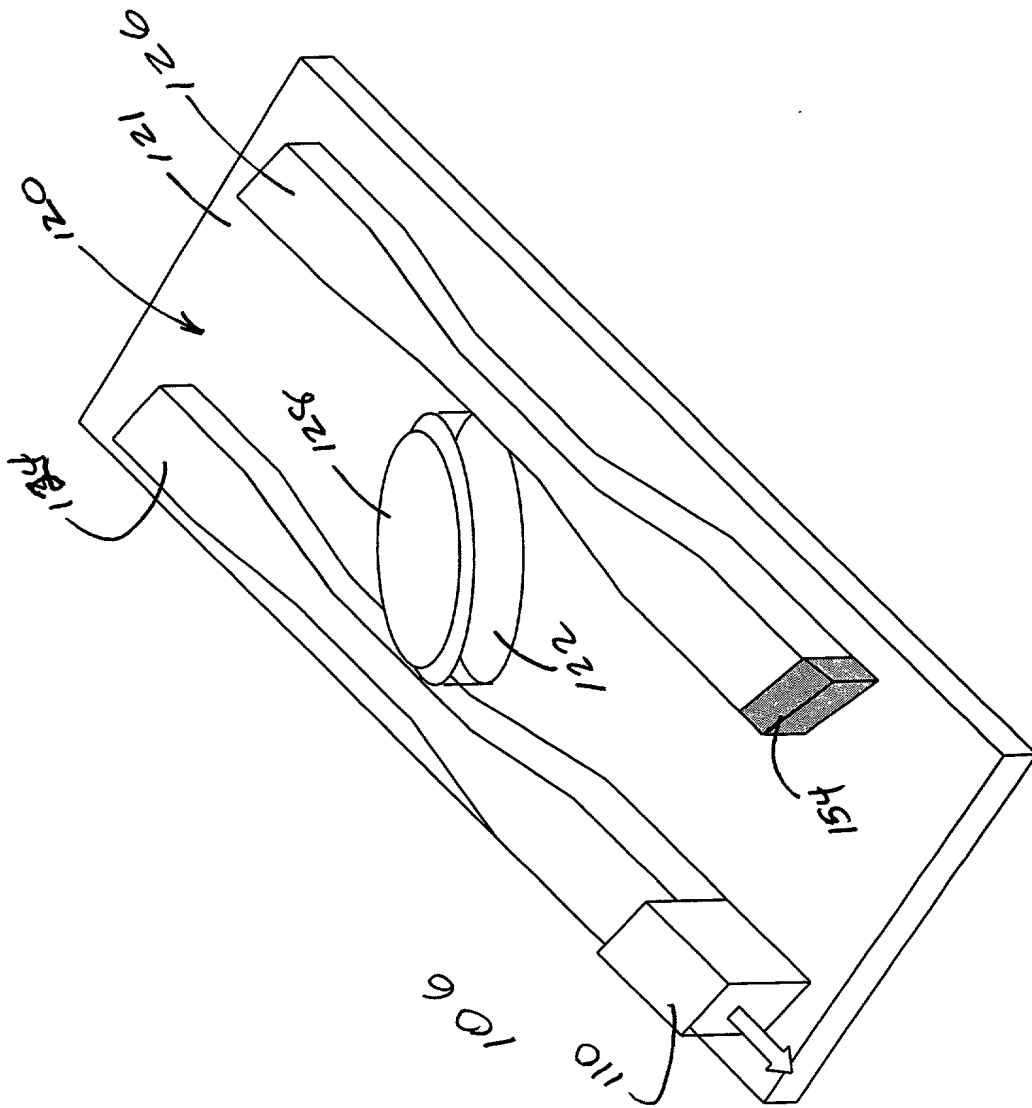


Fig. 19B



1007-354001

Fig. 20A



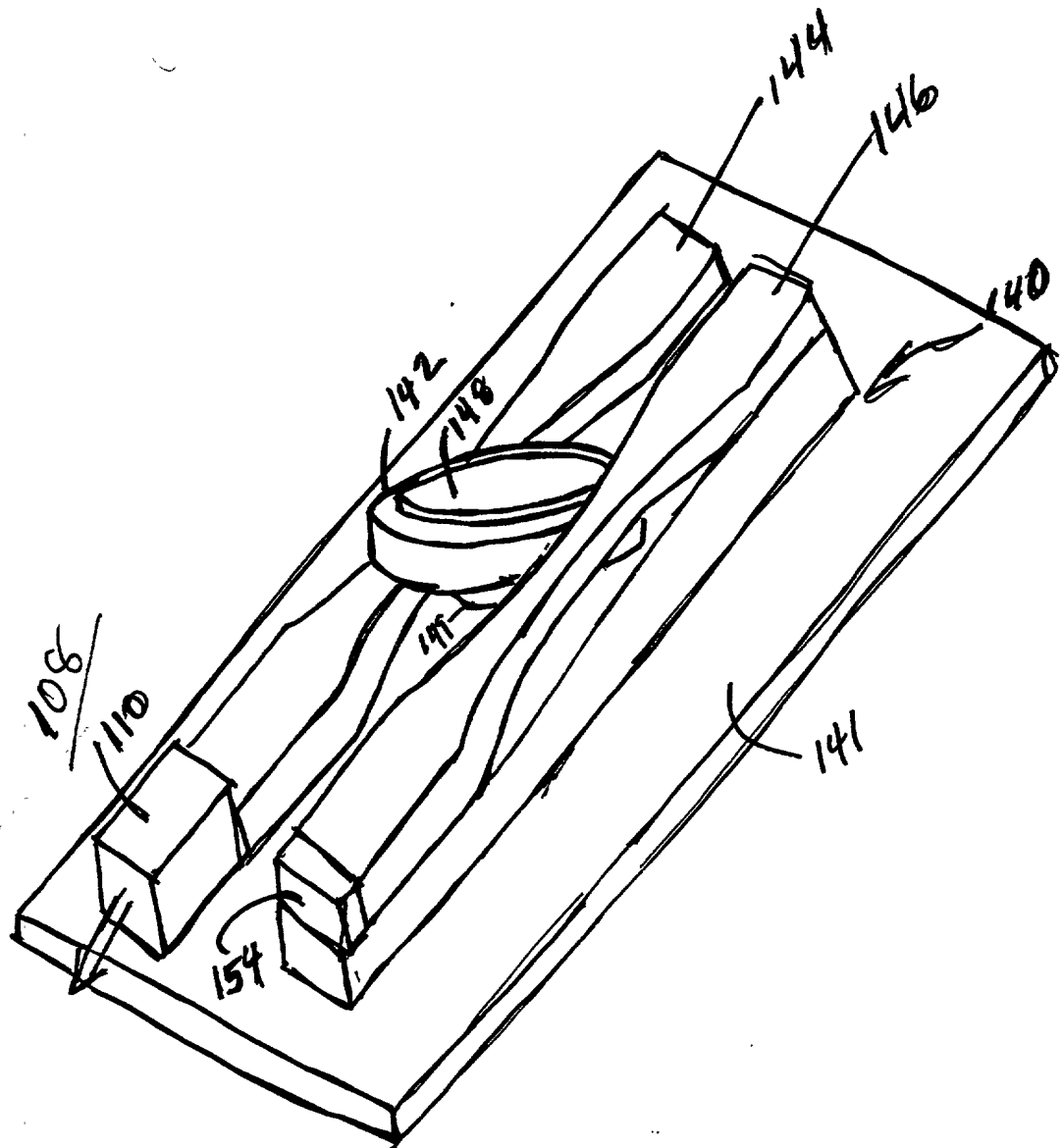


FIG. 20C

Fig. 21 A

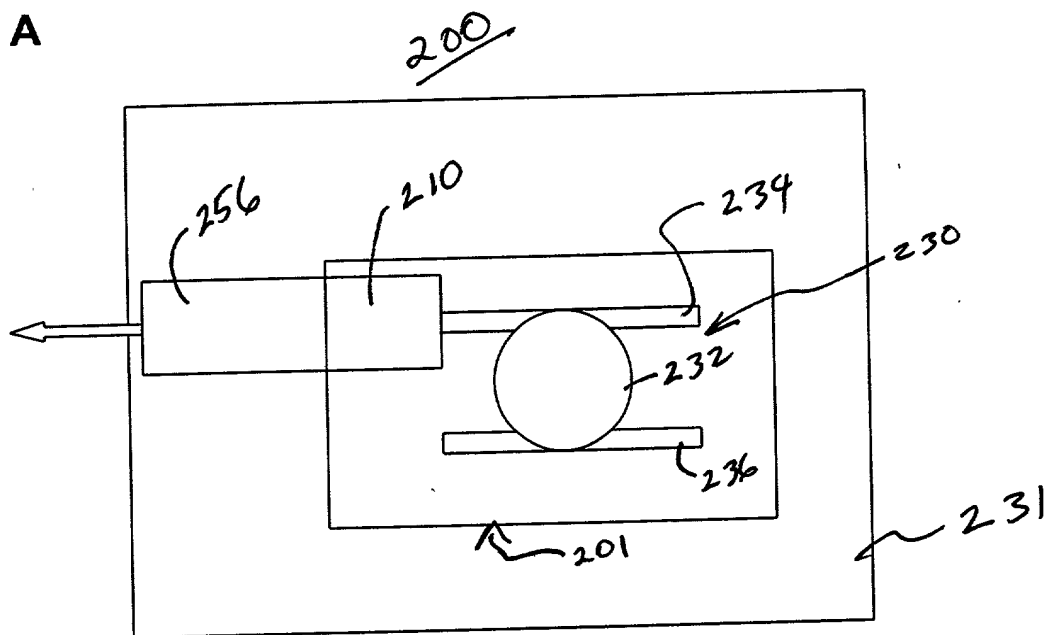


Fig. 21 B

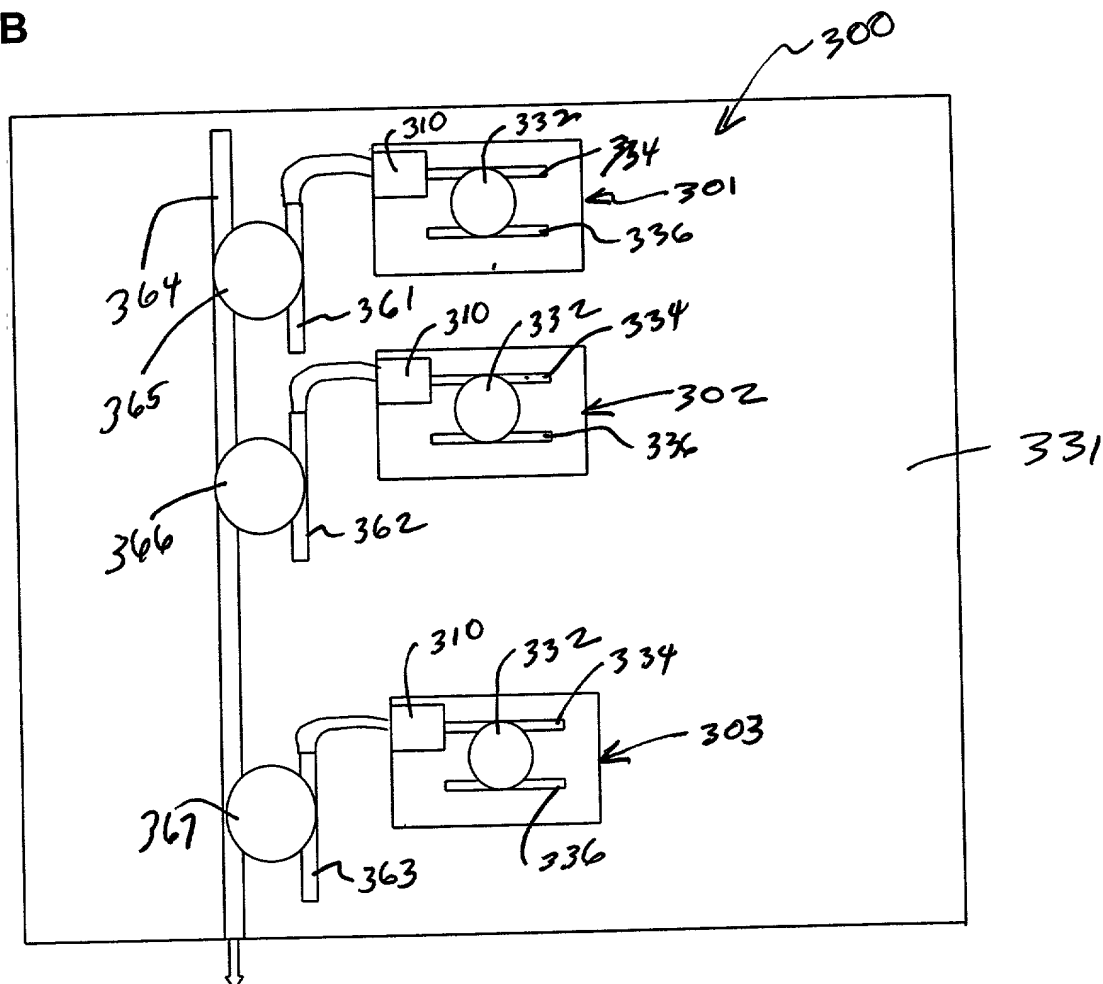


Fig. 22 A

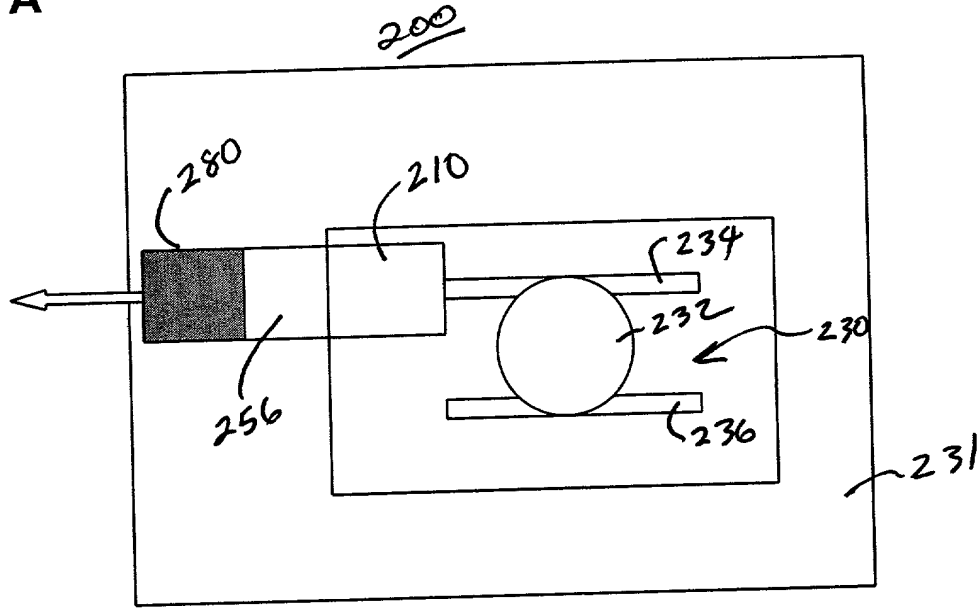


Fig. 22 B

